

特 集 フォーカス 26

フォーカス 26 <第30回>:成果事例クローズアップ (NIMS 国際ナノテクノロジーネットワーク拠点)

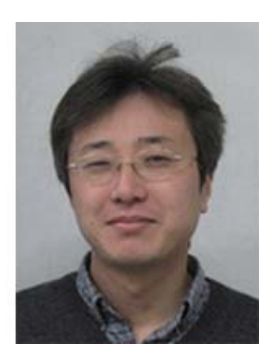
極低温ローレンツ電顕法を用いた, 渦巻状スピン「スキルミオン」の 生成とその可視化

[®] 科学技術振興機構 ERATO 十倉マルチフェロイクスプロジェクト, [®] 東京大学大学院工学系研究科, [©] 独立 行政法人理化学研究所 基幹研究所

于 秀珍[°], 小野瀬佳文^{°, °}, 金澤直也[°], 永長直人^{°, °}, 十倉好紀^{°, °, °} 独立行政法人物質・材料研究機構 外部連携部門(元・超高圧電顕共用ステーション長) 松井良夫







(左から) 于秀珍,金澤直也,小野瀬佳文







(左から) 永長直人,十倉好紀,松井良夫

要旨

平成 21 年度の文部科学省ナノネット電顕支援を活用することにより、私たちは NIMS の極低温電顕を用いてFe0.5Co0.5Si 中のスキルミオン (Skyrmion) と呼ばれる渦状のスピン状態を直接観察することに成功し、その成果は Nature 誌 vol.465, 901-904, (2010) に掲載されました.「スキルミオン」とは、1960年代に素粒子物理学者 (Skyrme) により予言されていたものです.物質中に

確立が急務でした。今回私たちは、非中心対称性のB20型立方晶構造を持つらせん型磁性体Fe0.5Co0.5Siという金属間化合物に着目し、電子顕微鏡の磁界型レンズの垂直磁場を精密制御することにより、らせん型スピン構造を渦状スキルミオン構造に変化させ、更にその過程をローレンツ電子顕微鏡像として可視化することに世界で初めて成功したのです。更に平成22年度には、FeGeにおいて室温近傍でスキルミオンを発生させ、これを可視化することにも成功し、Nature Materials 誌 vol.10, 106-109(2010)に発表しました。本稿は、于秀珍他、顕微鏡45,273(2010).の解説記事をベースに、これまでの一連の研

究内容を, できるだけわかりやすく解説したいと思います.

スキルミオンが生成すると、特異な電磁気効果が誘起されることが期待されるため、これを直接観察する技術の

*問い合わせ:

NIMS 国際ナノテクノロジーネットワーク拠点

(独) 物質・材料研究機構

〒 305-0047 茨城県つくば市千現 1-2-1

電話: 029-859-2777 E-mail: nsnet@nims.go.jp

1. はじめに

1986 年、スイス・チューリヒの IBM 研究所の Bednorz と Muller[1] が「酸化物高温超伝導体」を発見し、大フィー バーをもたらしました. その後, 酸化物超伝導体は「強 相関電子系物質」と呼ばれる一群の物質系に含まれるこ とが認識されてきました。1990年代には今回の研究の 指導者である十倉等が、特異な磁気特性(超巨大磁気抵 抗効果など)を有する「マンガン系酸化物」という新た な強相関電子系物質を見出し, これも大フィーバーとな りました. NIMS の前身の無機材研ではこの頃から既に, 超高圧電顕による極低温観察で十倉グループとの研究協 力を行っています [2]. 「強相関電子系」物質群は新たな 物性を探求するための宝庫とみなされ、今日でも固体物 理の最も活発な研究分野となっていますが、その最大の 特徴は「スピン」が決定的に重要な役割を担うことです. スピンの秩序状態 [3][4][5] が、超伝導発現機構や電磁気 応答などの物性と深く関わっていることが分かってきま した. このため従来にない新奇なスピン秩序状態とそれ に起因する電気磁気機能を応用する分野、「スピントロニ クス」が将来の高性能デバイス開発に多大な寄与をする ことが期待されているのです [6].

こうした情勢を背景に NIMS(旧・無機材質研究所)では、超伝導プロジェクト(マルチコアプロジェクト)の第2期(1995年から2001年度)において、磁気構造の可視化を行うための「極低温ローレンツ電顕法」の開発と、マンガン酸化物を代表とする「強相関系材料」への応用を、精力的に展開して参りました [7][8][9].

超伝導マルチコアプロジェクトは 2001 年度で終了しましたが、それと入れ替わるように 2002 年から「ナノテクノロジー総合支援(ナノ支援)プロジェクト」が開

始されました. このプロジェクトは特徴ある大型解析機器を, 広く国内の大学, 民間企業などに活用していただくもので, われわれも超伝導プロジェクトで整備してきた一連の電子顕微鏡と周辺設備を, 多様な材料分野に活用していただく良い機会であると考え積極的に参画しました. 2007年以降は「ナノテクノロジーネットワーク」(ナノネット)に衣替えしましたが, NIMSのローレンツ電顕は多様な磁性体の磁気構造をナノレベルで解明することに貢献してきました. 今回私たちは, この電顕を新しい合金系の磁性体に活用することによって, 「スキルミオンの可視化」という, きわめて挑戦的な課題に取り組み, 最終的にこれを成功させることができました.

本研究でまずとり上げた Fe_{0.5}Co_{0.5}Si は、非中心対称 性の B20 型立方晶構造を持つ物質で、約 25K 以下で「ら せん型」のスピン配列をとる(らせん磁性体,図1a,b) ことが、2006年度に実施したナノネット支援による、内 田等のローレンツ電子顕微鏡観察 [11][12] で既に分かっ ていました. ところが、2009年になると、この「らせん 型」磁気構造状態に、僅かな磁場を印加すると、スキル ミオン (Skyrmion) と呼ばれる新規な磁気構造が出現す るという報告が、中性子小角散乱実験を基になされたの です [13]. スキルミオンとは素粒子分野の理論研究者で ある Tony Skyrme[14] が提唱した、トポロジカル(位相 幾何学的)なスピン配列状態で,具体的には,図1c,d に模式的に示すようにスピンは「渦状」になります. 渦 の中心ではスピンは外部磁場と反対方向を,一方外側で はスピンは外部磁場と同一方向に整列します [14][15][16] [17]. スキルミオンが出現する温度範囲はしかしながら極 めて狭く、中性子小角散乱実験では、TN 直下の僅か数ケ ルビンの狭い温度領域でしか観察されません[13].一方, モンテカルロ・シミュレーションによれば、二次元的な

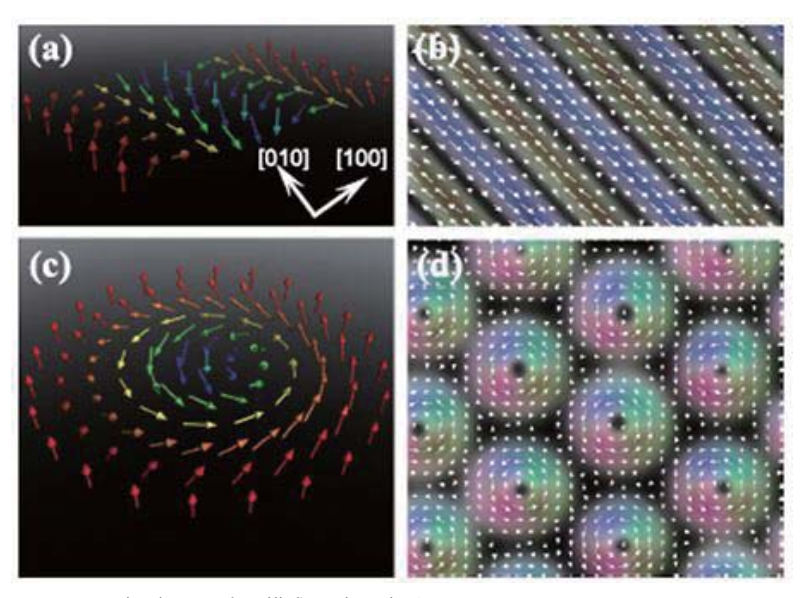


図 1 らせん磁性体 (a-b), スキミオン (c-d) の三次元模式図 (a, c) とモンテカルロ・シミュレーション [18] により理論的に得られた二次元スピンテクスチャー (b, d). 矢印は磁化の方向と強さを示します.



図 2 (a) スキルミオン観察に用いられた, 300kV 汎用分析型電子 顕微鏡 (Hitachi: HF-3000S)

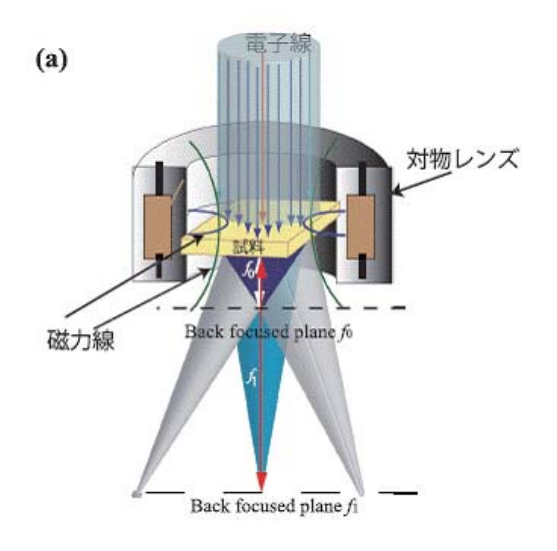


図 2(b) 試料研磨に用いられたイオン研磨装置(Gatan 社製 PIPS)

薄膜試料では、スキルミオン格子が比較的安定に存在しうることが理論的に予測されました [18]. 透過型電顕(TEM)のサンプルは必然的に薄膜ですから、透過電顕によるローレンツ観察が他の手法(例えば中性子回折法)に比べて、スキルミオンを捉えるのには極めて有効であると考えられました。また位相計測法(TIE)と併用することによって、磁化の空間分布をナノレベルでマッピングすることも出来るのです [18][22]. 今回、私たちは冷陰極電界放出型電子銃(Cold-FEG)を備えた、300kV分析電子顕微鏡(Hitachi HF-3000S)(図 2 (a) に外観写真を示します)の磁界型対物レンズの励磁を精密制御して、らせん磁性体 Fe0.5Co0.5Si に百ガウス程度の磁場をかけ、スキルミオン格子を生成させ、さらに渦状の磁化分布をローレンツ電顕像として可視化することに世界で初めて成功したのです [19][20][21].

2. ローレンツ電子顕微鏡法と磁場印加の原理

私共がこれまでマンガン酸化物等の磁区観察に用いてきた、標準的なローレンツ電顕(Hitachi: HF-3000L)は、強磁性体の自発磁化を観察するのが主たる目的でしたの



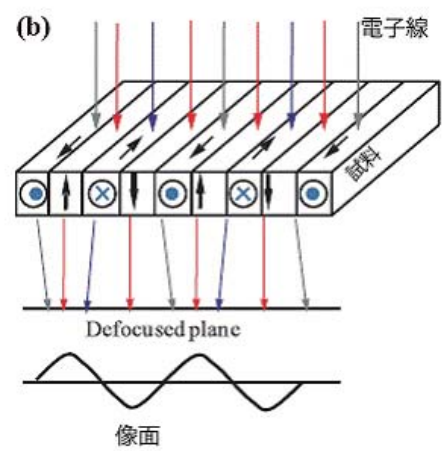


図3 (a) 対物レンズ電流を変化させた時の電子顕微鏡の結像光路図. (b) ローレンツ電顕法の模式図[21].

で、試料への磁場印加機能は極めて限定的で、今回スキ ルミオン生成に必要な、数百ガウスの磁場を「試料面に 垂直方向に」印加する機能はありません. したがってこ の装置では、らせん型磁性体に垂直な磁場をかけて、ス キルミオンに変化させるのは不可能です. そこで今回 我々は、もう1台の汎用型分析電子顕微鏡(Hitachi: HF-3000S) を使用することを検討しました. TEM の通常観 察モードでは高い倍率と原子レベル分解能を得るために、 レンズ電流を大量に流し, 焦点距離を短くするのが一般 的です. この場合図3(a)の青色の結像経路のように, 加速電圧 300kV の場合, 試料面ではおよそ 2T-3T の強磁 場が発生しており、試料の磁化は一般に飽和してしまい ます. スキルミオンもこのような強磁場下では存在でき ません. 一方、図3(a)の水色で示した結像光路のよう に、レンズ電流を減らすと、試料面での磁場が減少します. うまく制御すれば、スキルミオン生成条件(数百ガウス) を得ることが原理的に可能です. また焦点距離を長くす ると、カメラ長が長くなることによって、回折図形の拡 大倍率が大幅に増大しますから、 試料中の自発磁化に対 応した電子線の偏向の検出がより容易になります. つま り、対物レンズ電流を減少させることによって、スキル

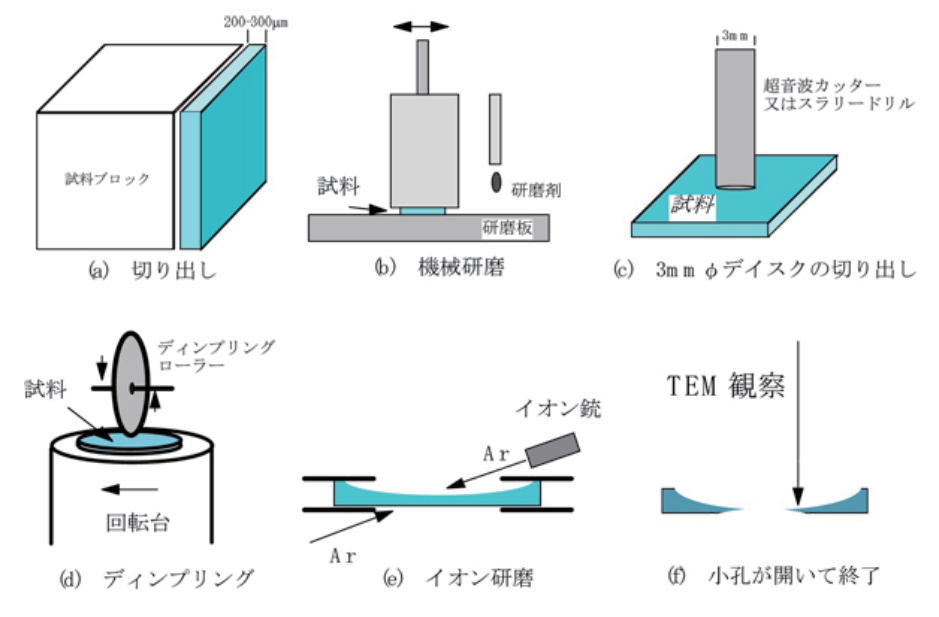


図4 試料研磨手順の模式図

ミオンを生成させ、かつそれをローレンツ観察することが可能になるわけです。図3(b)は、ローレンツ電顕法による磁性体の観察原理の模式図です。試料内部の、入射電子線と平行な磁化成分は、電子線の偏向に寄与せず、磁気コントラストは現れません。一方、入射電子線と垂直な磁化成分(薄い試料の面内成分)には、ローレンツ力が働くため、電子線は偏向され、収束像(明るい)や発散像(暗い)が像面に形成され、磁気コントラストが得られます。このような観察法は「フレネル法」とも呼ばれ、白黒のコントラストから観測面に平行な磁化の情報を得ることが出来ます。

3. 実験

今回の観察用試料は単結晶 Fe_{0.5}Co_{0.5}Si で, ERATO に て浮遊帯域溶融 (FZ) 法 [10] によって作製されました. こ れを受けて NIMS では機械研磨とイオン研磨で 20nm 程 度まで薄くし、電顕観察用のサンプルを得ました. 今回 使用したイオン研磨装置(米国 Gatan 社製 PIPS)の外観 写真を図2(b)に示しました.機械研磨からイオン研磨 装置にいたる一連の手順の模式図を図4(a)-(f)に示 します. 得られた試料は電子顕微鏡用の液体ヘリウムホ ルダ(オックスフォードインスツルメント製)に取り付 けた後, 前述の冷陰極電界放出型電子顕微鏡(日立 HF-3000S, 300kV) で観察を行いました. 対物レンズ電流を ゼロから徐徐に増加させ、らせん磁性体に垂直な磁場を 印加しながら、磁区構造の観察を行いました. 磁化分布 を求めるため、位相計測法・強度輸送方程式法(計算は QPt (HREM Ltd. 製) ソフトを使用) [21] を用いて,正焦 点から外した二枚(アンダーフォーカスとオーバーフォー カス) のフレネル型ローレンツ電顕像の位相変化を抽出 し、磁化の空間分布をマッピングしました.次章に観察 結果を述べます.

4. らせん状態の磁化分布の観察

図 5 (a, b) は 25K・無磁場条件での Fe_{0.5}Co_{0.5}Si のローレンツ電顕像です。白黒の縞状 (ストライプ) パターンが観察されますが、アンダーフォーカス像 (a) とオーバーフォーカス像 (b) のコントラストが反転していることから、このコントラストが磁気構造を反映していると判定されます。強度輸送方程式法 (TIE) でこれらのローレンツ像の z 方向 (電子線と平行) の位相変化を計算することにより、試料面内の 2 次元磁化分布が得られます。その結果を図 5 (c) に示しますが、各カラーと矢印が磁化の方向および大きさの対応関係を表しています。この磁化分布はモンテカルロ・シュミレーション [18] により理論的に得られた 2 次元系らせん磁気構造 (図 1b) とよく一致しており、Fe_{0.5}Co_{0.5}Si が極低温・無磁場条件ではらせん型スピン構造を持つことを実証しています。また、

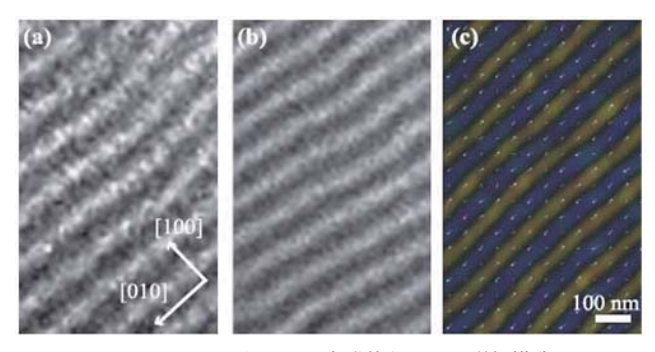


図 5 Fe_{0.5}Co_{0.5}Si における,自発的ならせん磁気構造 [19]. (a)オーバーフォーカス像.(b)アンダーフォーカス像.(c)磁化分布.

らせんスピンの繰り返し周期とその方向は、それぞれ90nmと[100]であり、中性子散乱実験の結果と一致していることも分かりました.

5. 弱磁場印加によるスキルミオンの生成および 消滅

ここからが本支援研究のクライマックスです. らせん 型のスピン配列に、数百ガウスの磁場を印加すると、確 かに渦巻状のスキルミオンが出現することが確認された のです. 図6には、T=25Kにおける様々な磁場における ローレンツ電顕像(オーバーフォーカス像)を示します. 図6(a)には前章で述べた無磁場のらせん磁気構造が観 察されています。このらせん磁気構造に、徐々に磁場を 印加すると、図6(b),(c)に示すように縞状パターンが 崩れ始め、同時にスキルミオンの渦巻状スピンに対応す ると思われる, 白い粒状のパターンがところどころに現 れ始めます. アンダーフォーカスでは粒上コントラスト が黒に変わりますので、磁気構造を反映したのであると 考えられます. このようならせん磁性とスキルミオンと の共存相では比較的スキルミオン単体が独立して運動し うることが期待できます. 印加磁場を 50mT(500 ガウス) まで増加すると縞状パターンはほぼ完全に消失し、ほぼ

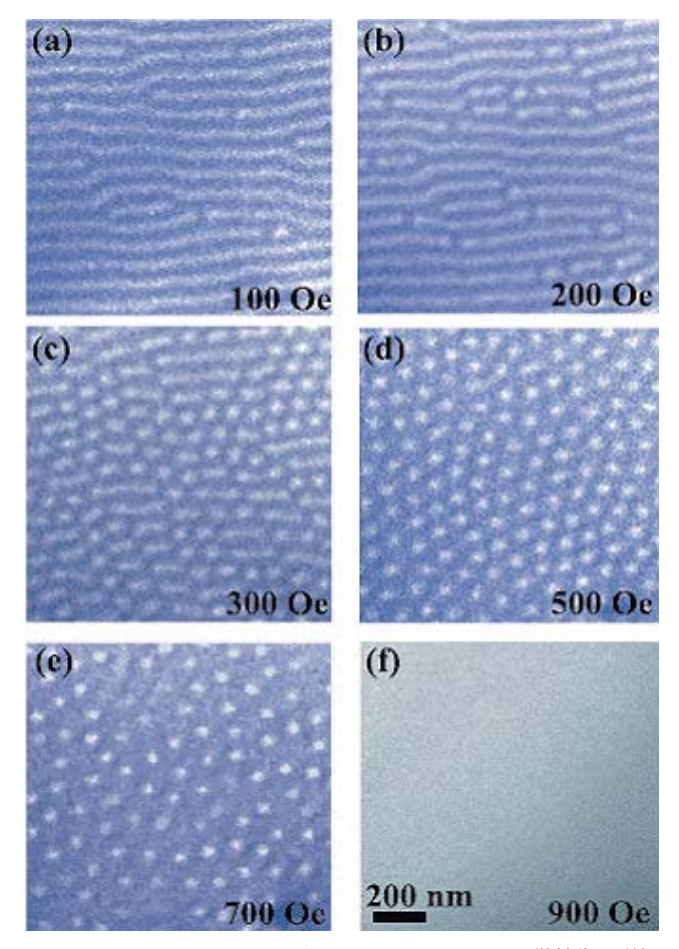


図 6 Fe_{0.5}Co_{0.5}Si の, 25K におけるローレンツ電子顕微鏡像の磁場変化 [19]

完全なスキルミオンの三角格子が形成されました. さらに磁場を70mT (700 ガウス)まで増加させると,図6(e)に示すように、スキルミオン格子も崩れはじめ、スピンが外部磁場方向(試料と垂直方向)に沿って揃った強磁性状態が局所的に現れ、スキルミオンと強磁性相が共存している状態が観察されます。最終的に磁場を80mT(800ガウス)以上に上げますと、スキルミオンはほぼ完全に消失、強磁性の単一ドメインが形成されるため、ローレンツ像は一様なものとなります(図6(f)).

6. 単一スキルミオン内の磁化分布

これまでは、スキルミオンの生成過程について述べま したが、個々のスキルミオンの磁化状態について、より 詳細に解析を行いました. 図7に T=25K における, 磁場 下 (B=50mT) のローレンツ顕微鏡像 (a-b) とその磁化 分布 (c) を示します. この図は位相計測法・強度輸送方 程式法を用いて, 高分解能ローレンツ実空間像 (a-b) を 解析することにより得られた磁化の面内成分の空間分布 マップです. $\mathbf{図7}$ (d) は $\mathbf{図7}$ (c) の拡大像で, カラーは 磁化の方向を表しており、例えば磁化が右を向いている 場合には赤色で表示されています。また、鮮やかな(明 るい) 色ほど磁化の面内成分が大きいことを示しており、 黒い領域では磁化の面内成分は極めて弱くなっています. スキルミオンの直径とスキルミオン格子の格子定数はほ ぼ等しく、およそ90nmです。実空間観察したスキルミ オン格子の磁化分布と、モンテカルロ・シミュレーショ ンにより理論的に得られた2次元系スキルミオンの面内 磁化成分(図1(c))は非常によく一致しており、中心 および外周のスピン方向が面に垂直であることが強く示

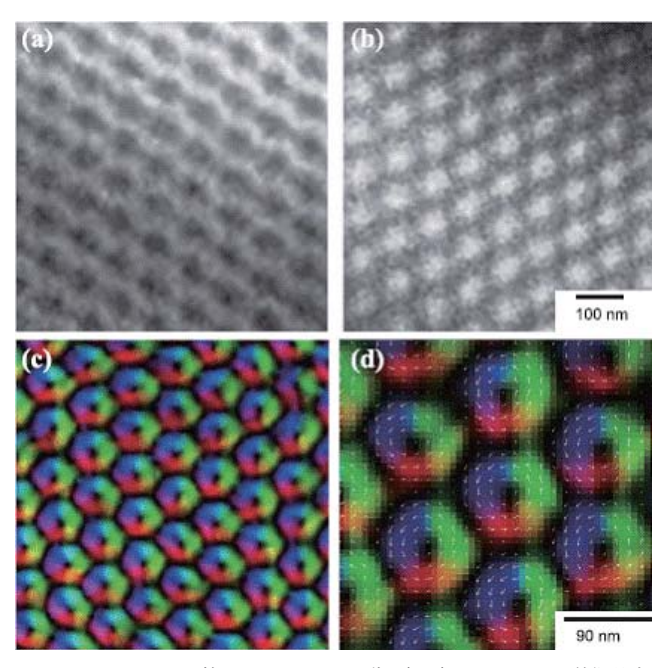


図 7 スキルミオン格子のローレンツ像 (a-b), TIE による磁化分布 (c) とその拡大像 (d) [19].

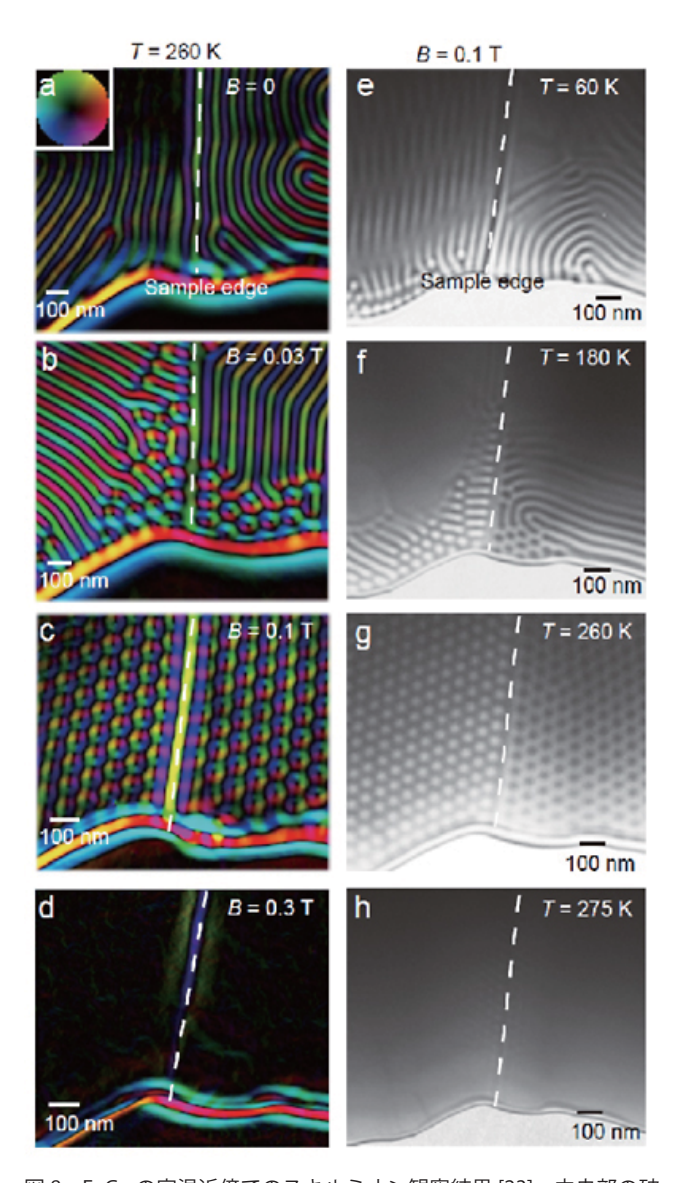


図8 FeGe の室温近傍でのスキルミオン観察結果 [23]. 中央部の破線は結晶界面に相当します. 左カラムの (a) - (d) は温度 260K に固定して, 磁場によるスキルミオン生成と消失過程の TIE 解析結果を示します. 一方右カラムは, 磁場を 0.1 テスラ (1000 ガウス) に固定して, 60K から 275K のローレンツ像の温度変化を示します.

唆されます.中心部と外周部の面積を比較すると,外周部が大きいため,外周部のスピンは磁場と同一の方向を,一方中心部では磁場と反平行に整列していると考えらます.

7. 室温近傍でのスキルミオン観察(FeGe)

これまで Fe_{0.5}Co_{0.5}Si について、約 25K という極低温 でのスキルミオン観察結果を紹介しました. 基礎科学と しては大変興味深いものの、これを実用デバイスとして 利用するにはもう少し高温、できれば室温に近い温度で スキルミオンを生成させることが必要となります. そこ で次のステップとして私たちは FeGe という物質系に着 目して同様の実験を行いました. その結果は2011年の Nature Materials 誌に掲載されました [23]. 図8に得ら れた結果の一部を紹介いたします. 左カラムのカラー像 (TIE) は、約260Kという極めて室温に近い条件で得ら れたもので、無磁場(図8(a))ではらせん磁気構造によ る縞状コントラストが、磁場の上昇とともにスキルミオ ンの三角格子に変化するが (図8(b), (c)), 最終的に は強磁性になり複雑なコントラストは消失しました. 一 方右カラムは磁場をB=0.1Tに固定し、温度を60Kから 275K に変化させた結果も示します. ここで一点特筆すべ きは、中央に結晶界面が存在しており、その両側では渦 状スピンの巻き方向(カイラリティー)が反転している ことです.

8. 終わりに

今回私たちは、ナノネット電顕支援制度を活用することによって、らせん磁性体 Fe_{0.5}Co_{0.5}Si に対して、電子顕微鏡内で対物レンズ磁場を巧みに制御して、渦状スキルミオン格子を生成し、さらにこれをローレンツ電子顕微鏡像として実空間観察(可視化)することに世界に先駆けて成功しました。実空間観察により得られた 2 次元ス

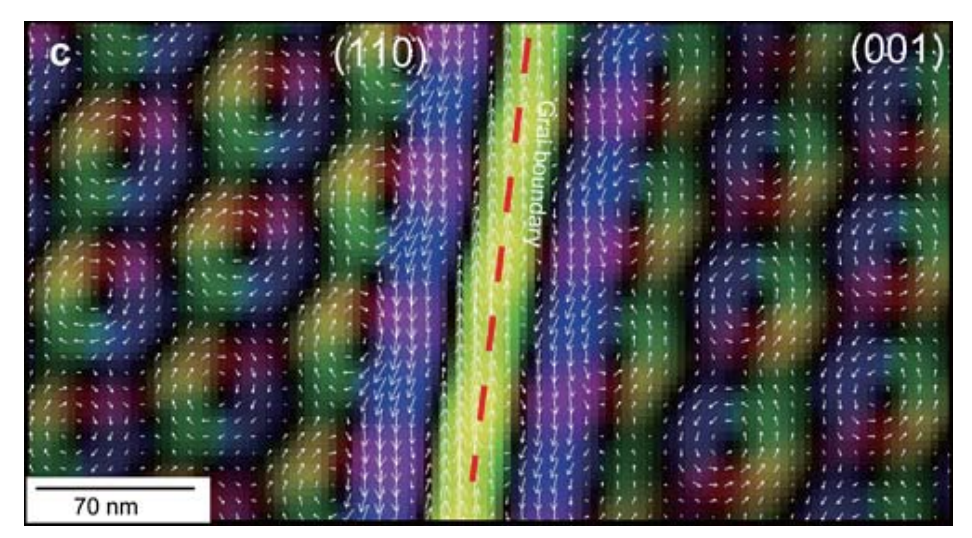


図9 図8(c)の拡大図. 中央の結晶粒界を挟んで、スキルミオンのスピン回転方向(カイラリティー)が反転していることが分かります[23].

キルミオンのスピン構造はモンテカルロ・シミュレーショ ンにより理論的に得られた2次元系構造とよく一致する ことが分かりました. スキルミオンは、まず無磁場状態 で 25K 程度に冷却してらせん磁気構造を生成させ、ここ に百ガウスオーダーの磁場をかけることによって、徐々 に生成しますが、約500ガウスで、ほぼ完全なスキルミ オン三角格子となることが確認できました. また, 実空 間観察という特性を生かして、渦状スキルミオンと縞状 らせん磁気、あるいは渦状スキルミオンと強磁性の共存 状態をナノレベルで観察することにも成功し、相境界で は単一のスキルミオンが独立に運動しうることなどの知 見が得られました. モンテカルロ・シミュレーションに よれば、スキルミオンは二次元系(薄膜)で特に安定に 存在すると予測されているため、薄膜試料を前提とする 透過型ローレンツ電顕法は、このような非線形のトポロ ジカルスピン構造の解析に極めて有効であり、今後も多 大な貢献が出来ると期待しています.

謝辞

本研究は、科学技術振興機構・ERATO・十倉マルチフェロイックスプロジェクト、物質・材料研究機構(NIMS)、東京大学、理化学研究所、及び韓国 Sung Kyun Kwan 大学の共同研究です。本稿で主に紹介した、Fe_{0.5}Co_{0.5}Si に関する共同研究者である、J.H. Park 及び J.H. Han(韓国 Sung Kyun Kwan 大学)に深く感謝いたします。また後半で紹介した FeGe に関する共同研究者である、石渡晋太郎(東大)、木本浩司(NIMS)、張偉珠(NIMS)の各氏にも深く感謝いたします。

さらに有益な助言を頂いた、有馬孝尚(東大)、石塚和夫(HREM Research Ltd)、浅香透(名工大)、金子良夫(ERATO)の各氏に深く感謝いたします.

今回のナノネット支援の責任者は平成21年度までは 松井が務めましたが、平成22年度からは原徹氏(NIMS) が引き継いでおります。原氏を始めとする、電顕支援関 係者のサポートに深く感謝いたします。

参考文献

- [1] J.G. Bednorz and K.A. Muller, Z. Phys. B 64, 189 (1986).
- [2] Y. Moritomo, Y. Tomioka, A. Asamitsu, Y. Tokura, and Y. Matsui, Phys. Rev. B 51, 3297 (1995)

- [3] E.P. Wigner: Phys. Rev. 46, 1002-1011 (1934)
- [4] Y. Tokura, and N. Nagaosa: Science, 288, 462-468 (2000)
- [5] J.M.Tranquada et al.: Nature, 375, 561-563 (1995)
- [6] 永長直人, 十倉好紀: 日本物理学会誌, 64, 413 (2009)
- [7] T. Asaka, T. Kimura, T. Nagai, X. Z. Yu, K. Kimoto, Y. Tokura and Y. Matsui, Phys. Rev. Lett. 95, 227204, (2005)
- [8] T. Nagai, H. Yamada, M. Konoto, T. Arima, M. Kawasaki, K. Kimoto, Y. Matsui and Y. Tokura, Physical Review. B 78, 184414 (2008)
- [9] X. Z. Yu, Run-Wei Li, T. Asaka, K. Ishizuka, K. Kimoto and Y. Matsui, Appl. Phys. Lett. 95, 092504 (2009).
- [10] Y. Ishikawa, K. Tajima, D. Bloch and M. Roth: Solid State Commun., 19, 525-528 (1976)
- [11] M. Uchida, Y. Onose, Y. Matsui, and Y. Tokura: Science, 311, 359-361 (2006)
- [12] 内田正哉, 小野瀬佳文, 松井良夫, 十倉好紀, 固体物理, Vol.41(No.5) 345-351 (2006)
- [13] S. Mühlbauer et al.: Science, 323, 915-919 (2009)
- [14] T. Skyrme: Nuclear Physics, 31, 556-569 (1962)
- [15] R. Rajaraman: Solitons and Instantons. Elsevier North-Holland, Amsterdam (1987)
- [16] S.L. Sondhi, A. Karlhede, S.A. Kivleson and E.H. Rezayi: Phys.Rev. B, 47, 16419-16426 (1993)
- [17] S.V. Grigoriev et al.: Phys. Rev. B, 76, 224424 (2007)[18] S. D. Yi, S. Onoda, N. Nagaosa, and J. H. Han, Phys.

Rev. B 80, 054416 (2009)

- [19] X. Z. Yu, Y. Onose, N. Kanazawa, J. H. Park, J. H. Han, Y. Matsui, N. Nagaosa and Y. Tokura, Nature 465, 901-904 (2010).
- [20] 小野瀬佳文,于 秀珍,金澤直也,松井良夫,永長直人,十倉好紀:固体物理,45,31 (2010)
- [21] 于秀珍, 小野瀬佳文, 金澤直也, 永長直人, 十倉好紀, 松井良夫, 顕微鏡 45, 273 (2010).
- [22] K. Ishizuka and B. Allman: J. Electron Microsc., 54, 191-197 (2005)
- [23] X. Z. Yu, N. Kanazawa, Y. Onose, K. Kimoto, W. Z. Zhang, S. Ishiwata, Y. Matsui, Y. Tokura, Nature Mater. 10, 106-109 (2010).
- (物質・材料研究機構 元・超高圧電顕共用ステーション長, 現・外部連携部門 連携コーディネーター 松井良夫)